

АКУСТИКА И МОЛЕКУЛЯРНАЯ ФИЗИКА

УДК 534.26

О ВЫБОРЕ ОПТИМАЛЬНЫХ ПАРАМЕТРОВ СФЕРИЧЕСКОЙ ЛИНЗЫ

Н. Н. Макаrenchенко, Ф. В. Рожин, О. С. Тонаканов

(кафедра акустики)

С использованием точного решения задачи дифракции на жидкой сферической линзе исследованы поля звукового давления и интенсивности во внутренней области линзы с $20 \leq kr_0 \leq 80$ в зависимости от показателя преломления, затухания и отношения волновых сопротивлений материалов линзы и среды.

Для формирования диаграмм направленности в жидкой и газообразной средах используются фокусирующие системы, например сферическая линзовая антенна. Для анализа ее характеристик в промежуточном частотном диапазоне (когда размер препятствия порядка нескольких десятков длин волн) необходимо использовать точное решение соответствующей дифракционной задачи. С использованием решения в виде разложения поля по сферическим функциям в работах [1—4] были исследованы распределения звукового давления при различных параметрах задачи. В данной работе исследуется вопрос об оптимальных параметрах жидкой сферической линзы.

При падении на однородный шар радиуса r_0 , расположенный в центре сферической системы координат (r, θ, φ) , плоской звуковой волны давления единичной амплитуды $p_i = \exp(ikz)$ вдоль оси Oz в предположении временной зависимости $\exp(-i\omega t)$ поле во внешней области

$$p = p_i + \sum_{n=0}^{\infty} i^n (2n+1) A_n h_n(kr) P_n(\cos \theta),$$

во внутренней области

$$\bar{p} = \sum_{n=0}^{\infty} i^n (2n+1) \bar{A}_n \bar{j}_n(\bar{k}r) P_n(\cos \theta),$$

составляющие относительной (нормированной по отношению к скорости падающей волны) колебательной скорости во внутренней области

$$\bar{v}_r/v_i = -(\partial \bar{p} / \partial r) (\rho c / i\omega \bar{\rho}) = (i/R_c) \sum_{n=0}^{\infty} \bar{A}_n \bar{j}'_n(\bar{k}r) P_n(\cos \theta),$$

$$\bar{v}_\theta/v_i = -(\partial \bar{p} / \partial \theta) (\rho c / i\omega \bar{\rho} r) = (i/R_c \bar{k}r) \sum_{n=0}^{\infty} \bar{A}_n \bar{j}_n(\bar{k}r) (dP_n/d\theta).$$

Относительная интенсивность звука (модуль вектора относительной интенсивности) в любой точке внутри линзы [2]

$$\bar{I} = (\bar{I}_r^2 + \bar{I}_\theta^2)^{1/2},$$

где

$$I_r = \text{Re}(\bar{p}\bar{v}_r^*)/2I_i, \quad I_\theta = \text{Re}(\bar{p}\bar{v}_\theta^*)/2I_i,$$

$$I_i = (1/2)\rho c,$$

причем $I_\theta = 0$ для точек на оси линзы ($\theta = 0, \pi$), так как $dP_n(\cos\theta)/d\theta = 0$ при $\theta = 0, \pi$.

Обозначения: $j_n(x)$ — сферические функции Бесселя, $h_n(x)$ — сферические функции Ханкеля первого рода, штрих означает производную по соответствующему аргументу, * — знак комплексного сопряжения, $P_n(\cos\theta)$ — полиномы Лежандра, A_n, \bar{A}_n — коэффициенты разложения, определяемые из граничных условий непрерывности нормальных составляющих скоростей и давлений на границе, $x = kr_0$, $k = \omega/c$, $\bar{k} = \omega/\bar{c}$; $\bar{k} = \bar{k}_1 + i\bar{k}_2$ считаем в общем случае комплексным, учитывая тем самым поглощение в материале линзы, $R_c = \bar{\rho}\bar{c}/\rho c$, $\bar{\rho}, \bar{c}, \rho, c$ — плотности и скорости звука во внутренней и внешней жидкостях соответственно.

Решение, а следовательно, и характеристики линзы зависят от следующих параметров: kr_0 — волнового числа линзы; $N_c = \bar{k}/k$ — комплексного показателя преломления; R_c — отношения волновых сопротивлений материала сферы и среды; $kr, \bar{k}r, \theta$ — координат точки, в которой рассматривается поле. N_c и R_c — комплексные при $\bar{k}_2 \neq 0$: $N_c = N + i\alpha/2\pi$, $R_c = R(1 + i\alpha/2\pi N)$, где $N = \bar{k}_1/k = \lambda/\bar{\lambda}$ характеризует отношение длины волны в среде λ и в материале линзы $\bar{\lambda} = 2\pi/\bar{k}_1$; $\alpha = 2\pi\bar{k}_2/k$ [Нп] — поглощение на расстоянии, равном λ ; $R = \bar{\rho}N/\rho(N^2 + \alpha^2/4\pi^2)$.

Исследуемый диапазон изменения параметров:

$$20 \leq kr_0 \leq 80, \quad 1 \leq N \leq 2, \quad 0 \leq \alpha \leq 1, \quad \alpha \text{ — в дБ}/\lambda, \quad 0 \leq \bar{\rho}/\rho \leq 10, \quad r \leq 2r_0.$$

$$0 \leq \theta \leq \pi.$$

Результаты расчетов. На рис. 1 приведены радиальные распределения относительной интенсивности I и звукового давления \bar{p} во внутренней области на оси ($\theta = 0$) для линз с указанными параметрами. На оси можно выделить фокальную область, в которой давление существенно больше давления в падающей волне и осциллирует. Распределения I более плавные, чем \bar{p} . Под положением фокуса будем понимать положение максимума огибающей кривой распределения давления (интенсивности). Фокусы I и \bar{p} не совпадают в общем случае, что согласуется с [1, 2]. При увеличении M фокальная область смещается к центру линзы.

Примеры резонансных и нерезонансных угловых распределений давления на поверхности линзы (диаграмм направленности точечного ненаправленного приемника, расположенного на ее поверхности) приведены в [4]. С ростом x (вне резонансов) полуширина главного лепестка диаграммы направленности ($\Delta_{0,7}$) сужается и уменьшается отношение амплитуды главного лепестка к максимальному из боковых (δ) (рис. 2), что согласуется с [5]. Расчеты показывают, что $\Delta_{0,7}$, δ и положение фокуса r_f/r_0 существенно не меняются при увеличении затухания по крайней мере до 0,6 дБ/ λ .

В [5] указывается на существование значения x , при котором коэффициент усиления для давления K (отношение давления в фокусе линзы к давлению в падающей волне) достигает максимума. Это связано с тем, что с ростом x , с одной стороны, растет апертура линзы, а с другой — возрастает фазовая aberrация, влияние этих факторов на K

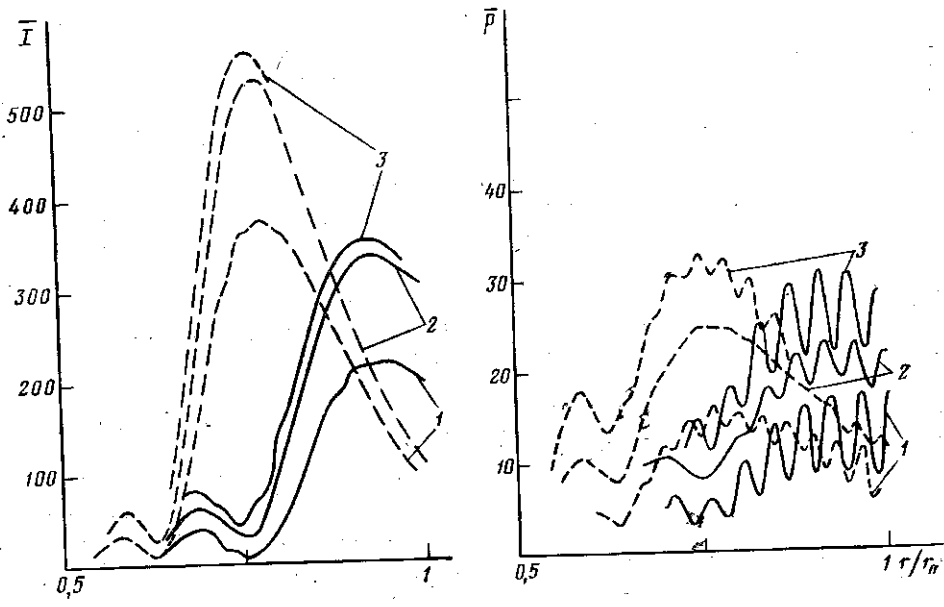


Рис. 1. Распределения интенсивности и звукового давления внутри линзы на оси ($\theta=0$): $x=50$, $k_2 r_0=0,2$, $\rho/\rho=1$ (1), 2 (2), 3 (3) при $N=1,8$ (сплошная линия) и 2 (штриховая)

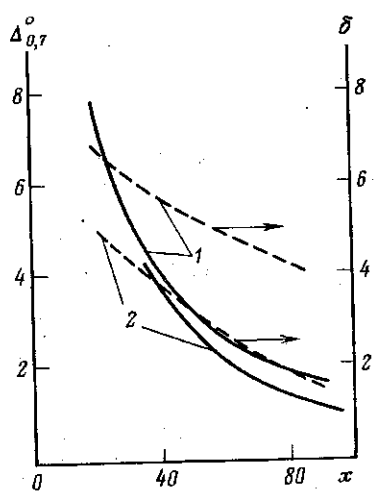


Рис. 2. Зависимости $\Delta_{0,7}$ и δ от x для линз с $\rho=\rho$, $\alpha=0,54$ дБ/л: $N=1,8$ (1) и 1,7 (2)

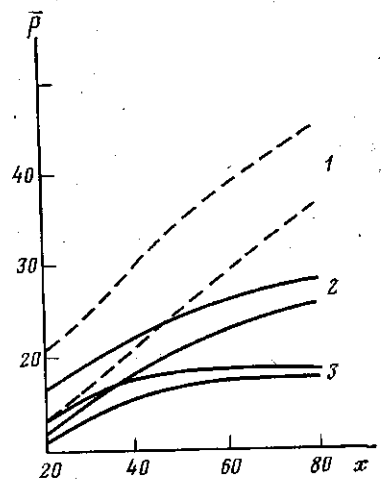


Рис. 3. Зависимости звукового давления в точке на оси ($\theta=0$) от x для линзы с $\alpha=0,1$ дБ/л (1), 0,15 дБ/л (2), 0,3 дБ/л (3); $R=1$; $N=1,8$; $r=r_0$

противоположно. Для линзы с $N=1,7$ K должен достигать максимума при $x \approx 30$, как следует из анализа характеристик методом Дебая [5].

Проведенный нами анализ зависимостей давления в точках фокальной области от x показывает, что в отсутствие затухания имеются существенные осцилляции давления на фоне среднего уровня, связанные с резонансами. На рис. 3 цифрами 1, 2, 3 обозначены области, каждая из которых ограничена двумя кривыми, определяющими верхний и нижний уровни осцилляций давления на поверхности линзы (в фокальной области) при $N=1,8$ и равенстве волновых сопротивлений среды и материала линзы.

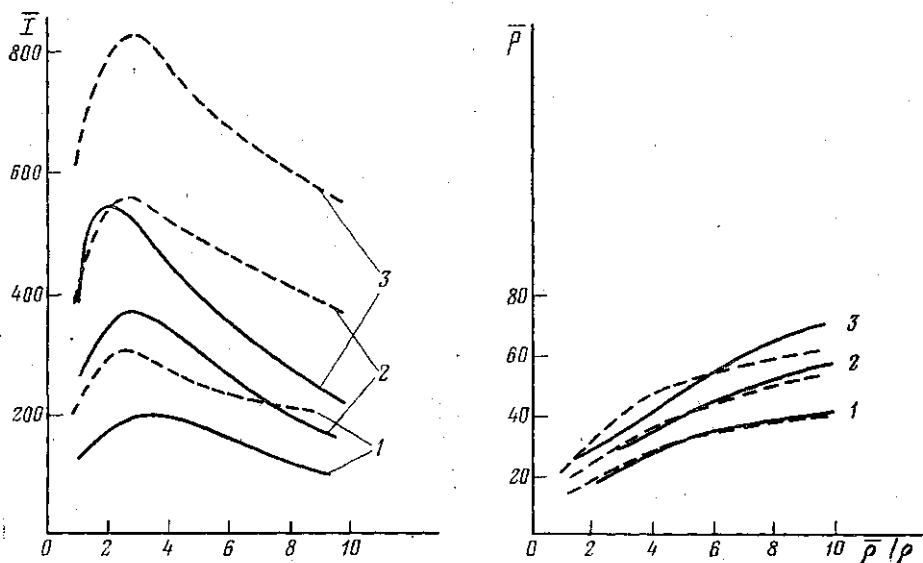


Рис. 4. Зависимости интенсивности и звукового давления на оси ($\theta=0$) от R (\bar{p}/ρ) для линзы с $\bar{k}_2 r_0=0,2$, $N=1,8$ (сплошная линия): $x=30$, $r_f=0,84r_0$ (1); $x=50$, $r_f=0,9r_0$ (2); $x=70$, $r_f=0,95r_0$ (3) и $N=2$ (штриховая линия): $x=30$, $r_f=0,7r_0$ (1); $x=50$, $r_f=0,75r_0$ (2); $x=70$, $r_f=0,77r_0$ (3)

Амплитуда этих осцилляций и средний уровень давления уменьшаются с ростом затухания. Средний уровень давления для $N=1,7$ и $1,8$ монотонно растет с ростом x , и максимума при $x \approx 30$ нет. Таким образом, точное решение дает результаты, отличающиеся от данных, полученных с использованием приближенного метода Дебая (в принципе не описывающего резонансы линзы).

Наряду со случаем $\alpha = \text{const}$ (затухание линейно растет с частотой) исследовались зависимости давления от x для затухания, растущего как квадрат частоты ($\alpha = 0,1x/20$ дБ/л). Для этого случая K имеет максимум при $30 \leq x \leq 80$.

Относительно выбора оптимального N отметим, что K для линзы с $N=2$ не меньше, чем с $N=1,8$, но фокус для $N=1,8$ расположен ближе к поверхности линзы, что предпочтительнее для практического использования.

Представляет интерес вопрос о выборе оптимального значения R . Как известно [6], при нормальном падении плоской волны на плоскую границу двух полупространств $R_{\text{опт}}=1$, при этом интенсивность падающей волны равна интенсивности прошедшей. В предельных случаях при

$R \rightarrow \infty$ $\bar{p} \rightarrow 2$, $\bar{v} \rightarrow 0$, $I \rightarrow 0$, а при $R \rightarrow 0$ $\bar{p} \rightarrow 0$, $\bar{v} \rightarrow 2$, $I \rightarrow 0$. При наклонном падении $R_{\text{опт}}$ зависит от угла падения θ и N . $R_{\text{опт}}$ растет от 1 до ∞ при изменении θ от 0 до 90° . Так как при достаточно больших x можно говорить о лучах, падающих на сферу под различными углами $0^\circ \leq \theta \leq 90^\circ$, то результат $R_{\text{опт}} = 1$ (как предполагается в [5]) не является очевидным.

Примеры зависимостей I и \bar{p} в фокусе давления от R для линзы приведены на рис. 4. Для всех кривых $\bar{k}_2 r_0 = 0,2$, что соответствует постоянному затуханию на диаметре линзы. Видно, что с ростом R (за счет $\bar{\rho}/\rho$) \bar{p} монотонно растет и стремится при $R \rightarrow \infty$ к некоторому предельному значению \bar{p}_∞ , а I достигает максимума при $R \sim 1-2$ (в зависимости от x и N). Вне резонансов колебательная скорость стремится к нулю при $R \rightarrow \infty$. Это следует из решения

$$A_n \Big|_{R_c \rightarrow \infty} = \frac{j_n \bar{j}'_n - R_c j'_n \bar{j}_n}{R_c h'_n \bar{j}_n - h_n \bar{j}'_n} \Big|_{R_c \rightarrow \infty} = -\frac{j'_n}{h'_n},$$

$$\bar{A}_n \Big|_{R_c \rightarrow \infty} = \frac{i R_c}{x^2 (R_c h'_n \bar{j}_n - h_n \bar{j}'_n)} \Big|_{R_c \rightarrow \infty} = \frac{i}{x^2 \bar{j}_n h'_n},$$

где аргументом функций j_n , j'_n , h_n , h'_n является $\bar{k} r_0$, а \bar{j}_n , \bar{j}'_n — $\bar{k} r_0$,

$$\bar{\rho} \Big|_{R_c \rightarrow \infty} = \sum_{n=0}^{\infty} \frac{i^{n+1} (2n+1) \bar{j}_n(\bar{k} r)}{x^2 h'_n(\bar{k} r_0) \bar{j}_n(\bar{k} r_0)} P_n(\cos \theta) = \bar{\rho}_\infty,$$

$$\frac{\bar{v}_r}{v_i} \Big|_{R_c \rightarrow \infty} = \frac{1}{R_c x^2} \sum_{n=0}^{\infty} \frac{i^{n+2} (2n+1) \bar{j}'_n(\bar{k} r)}{h'_n(\bar{k} r_0) \bar{j}_n(\bar{k} r_0)} P_n(\cos \theta) \Big|_{R_c \rightarrow \infty} = 0.$$

Поле во внешней области при $R \rightarrow \infty$ вне резонансов совпадает с полем рассеяния акустически жесткой сферы, вблизи резонансов $\bar{p} \sim O(R)$ и $\bar{v}/v_i \sim O(1)$ [7, 8].

СПИСОК ЛИТЕРАТУРЫ

- [1] Boyles C. A. // J. Acoust. Soc. Am. 1965. 37, N 3. P. 393. [2] Boyles C. A. // Ibid. 1977. 61, N 2. P. 338. [3] Макарянченко Н. Н., Рожин Ф. В., Тонаканов О. С. // Вестн. Моск. ун-та. Физ. Астрон. 1980. 21, № 6. С. 97. [4] Макарянченко Н. Н., Рожин Ф. В., Тонаканов О. С. // Там же. 1981. 22, № 4. С. 89. [5] Каневский И. Н. Фокусировка звуковых и ультразвуковых волн. М., 1977. С. 227-267. [6] Ржевкин С. Н. Курс лекций по теории звука. М., 1960. [7] Gaudinard G. C., Tanglis E., Uberall H., Brill D. // Nuovo Cim. 1983. B76, N 2. P. 153. [8] Kriegsmann G. A., Norris A. N., Reiss E. L. // Wave Motion. 1984. 6, N 5. P. 501.

Поступила в редакцию
02.06.88